

Anil K. Chinthakindi, et al.
BUR920040112US1 (WDS)

1/7

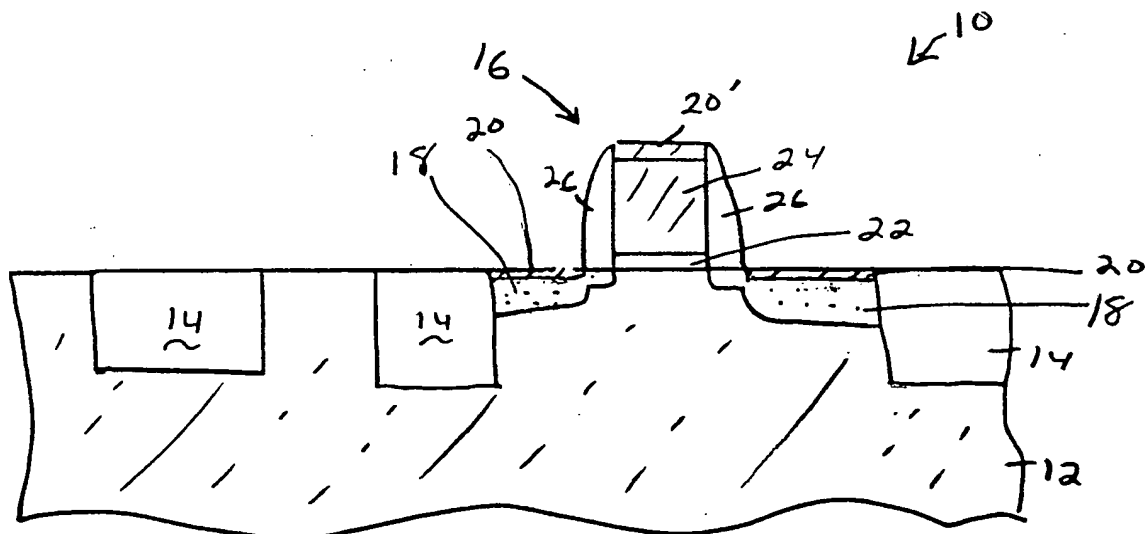


FIG. 1A

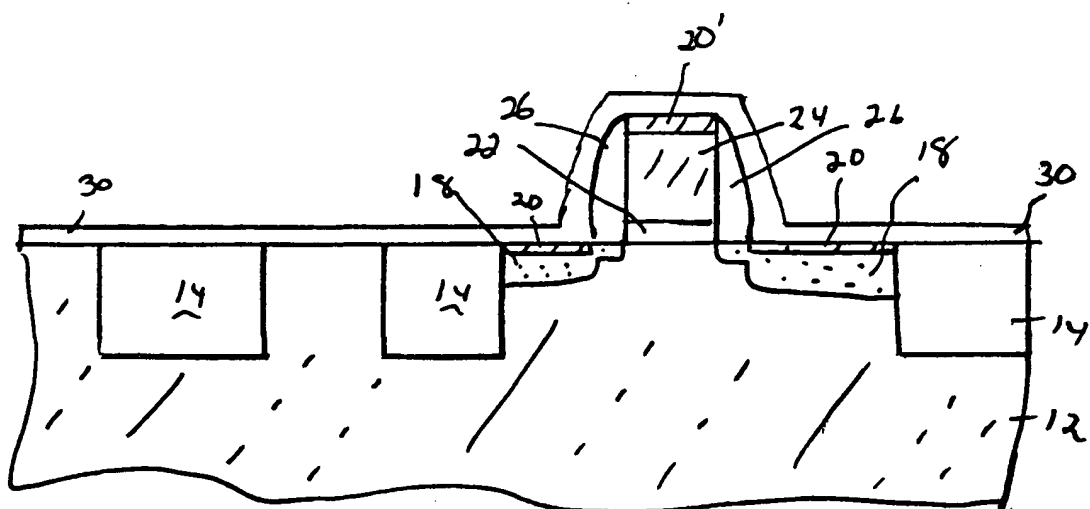


FIG. 1B

BUR920040112US1

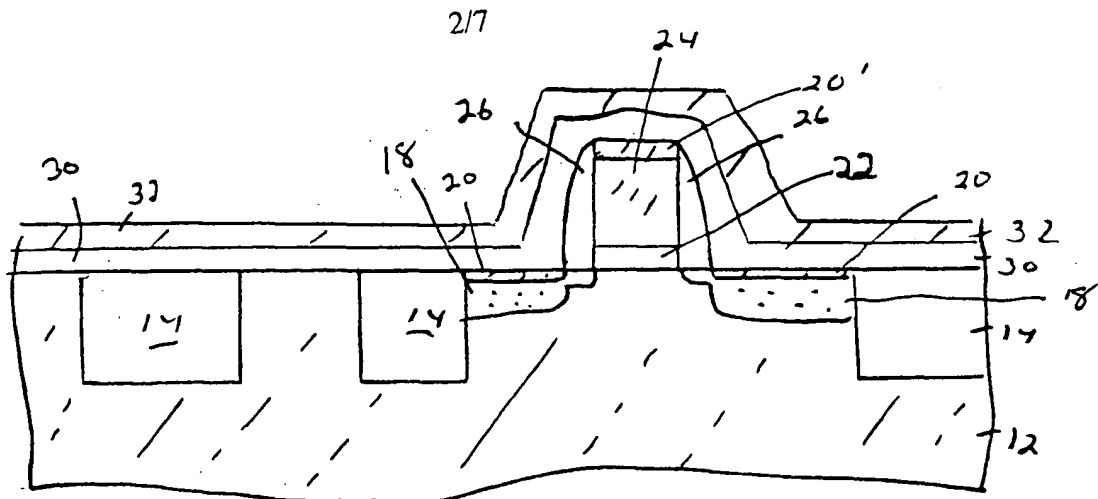


FIG. 1C

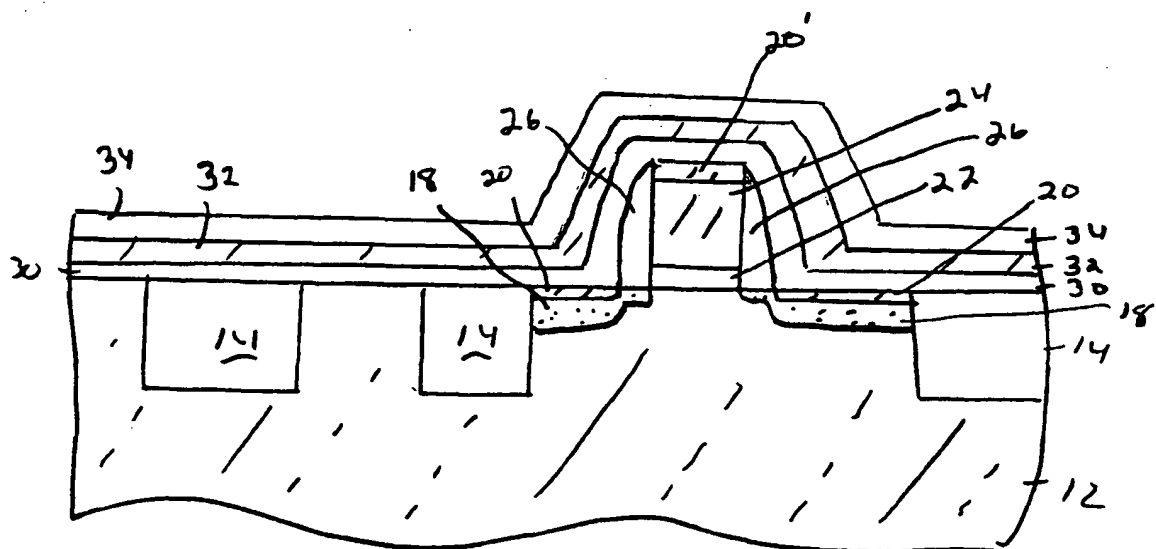


FIG. 1D

BUR920040112US1

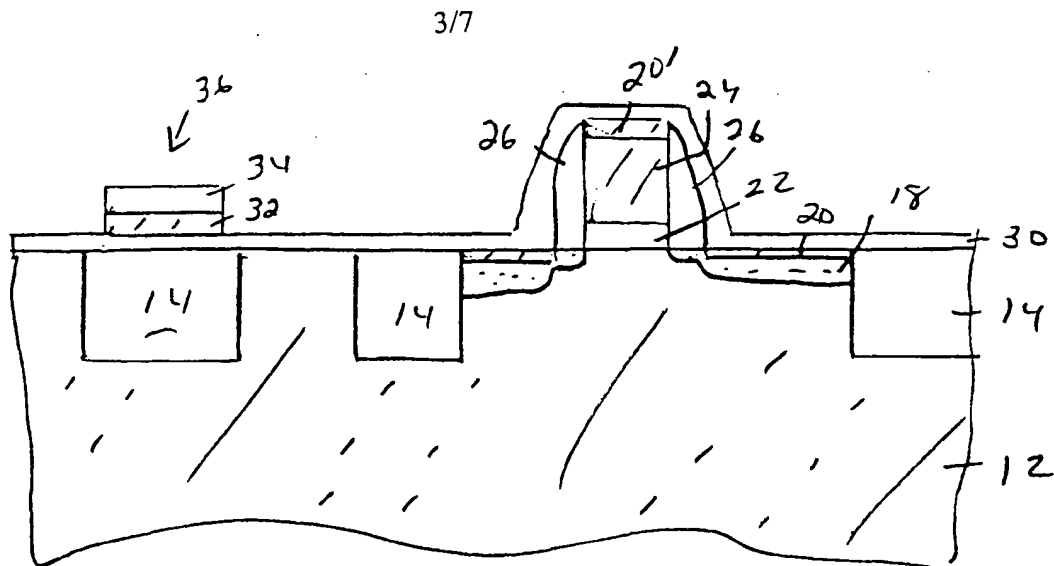


FIG. 1E

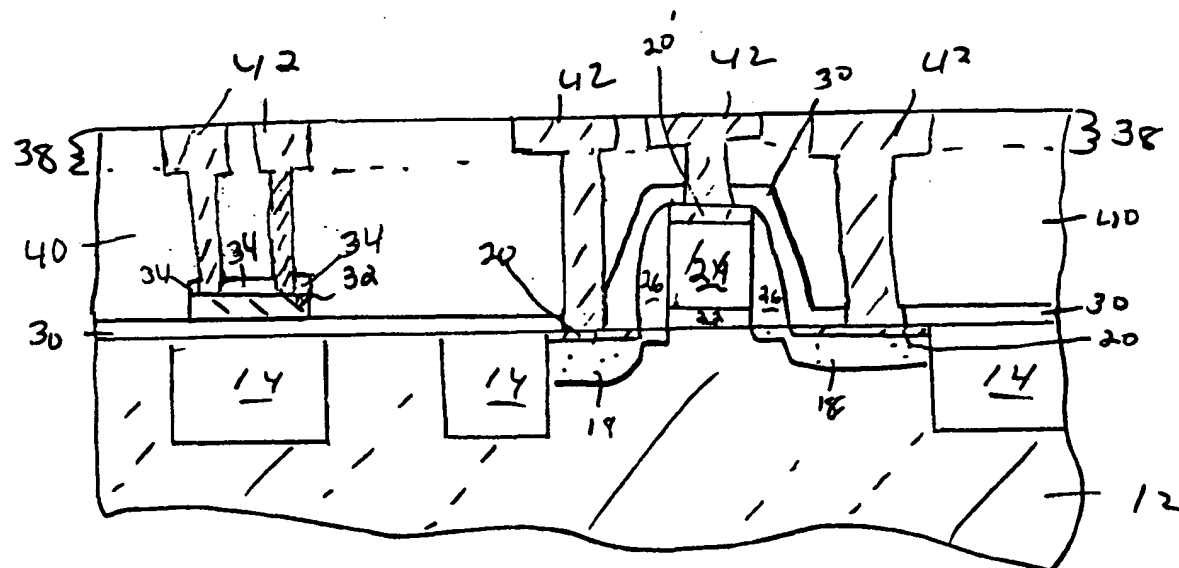


FIG. 1F

BUR920040112US1

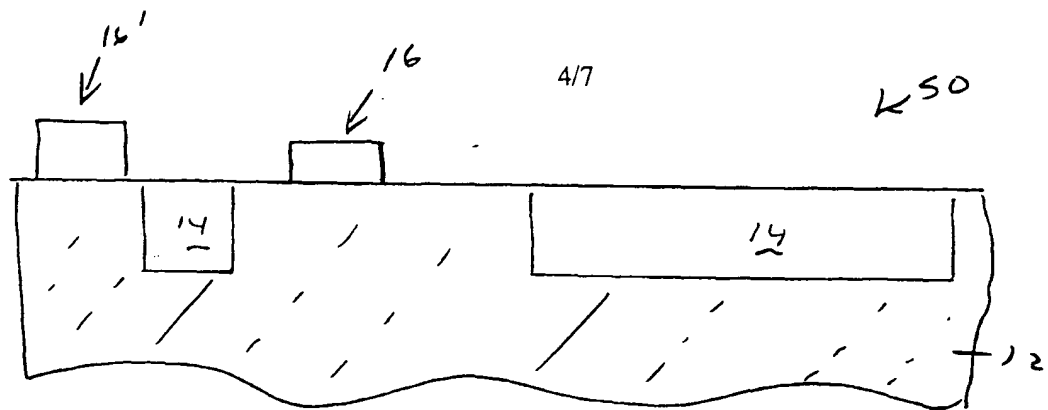


FIG. 2A

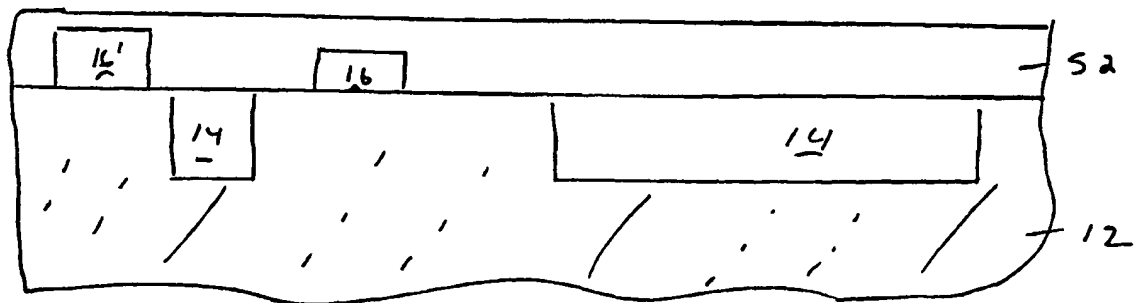


FIG. 2B

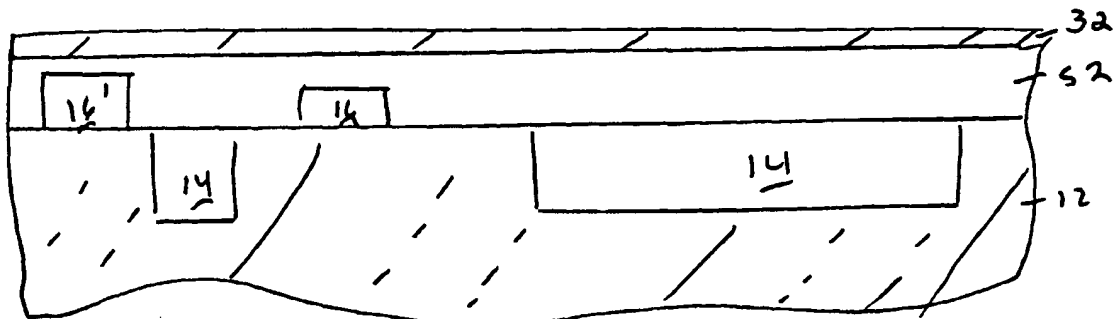


FIG. 2C

BUR920040112US1

5/7

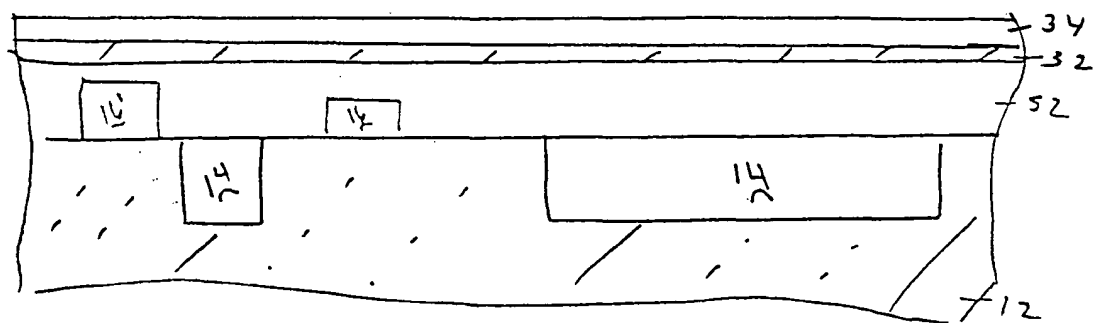


FIG. 2D

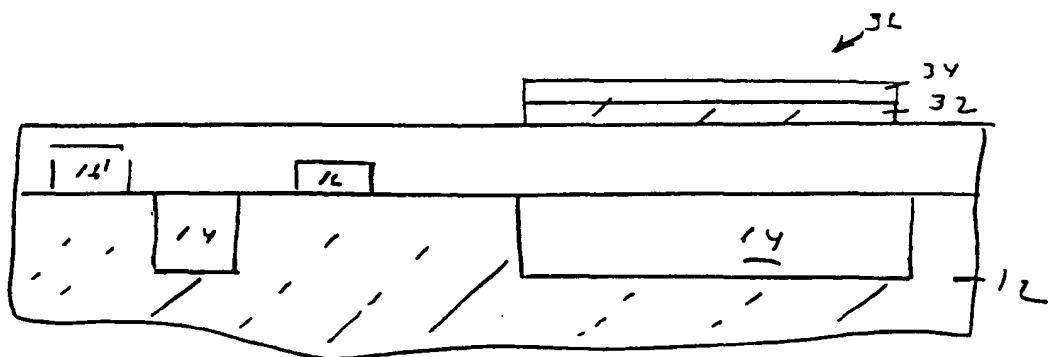


FIG. 2E

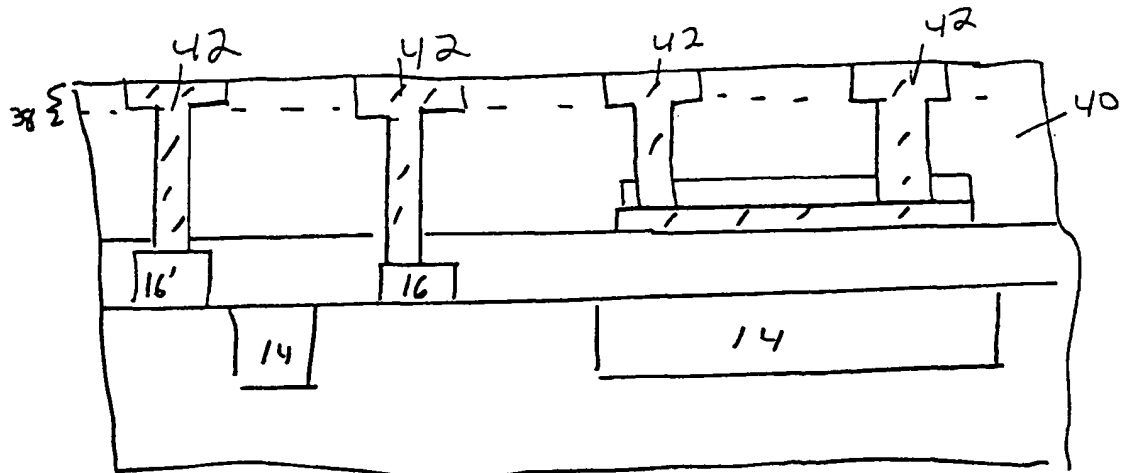


FIG. 2F

BUR920040112US1

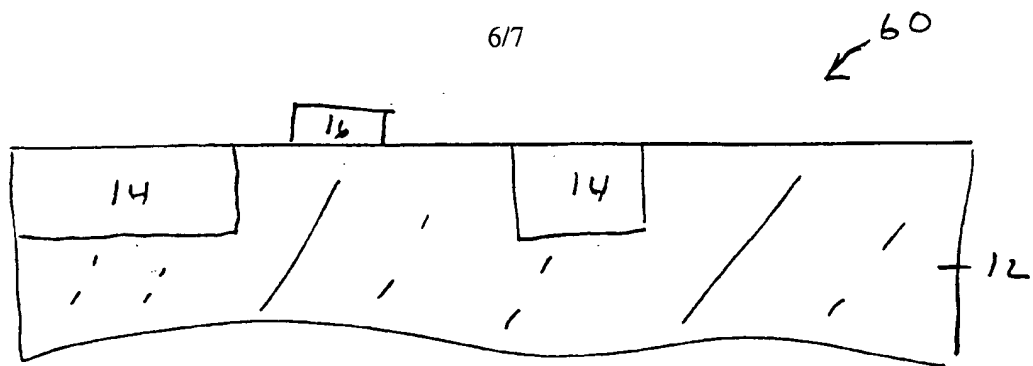


FIG. 3A

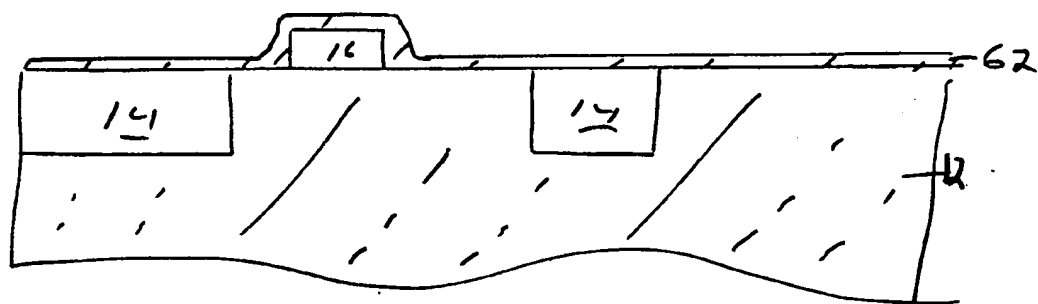


FIG. 3B

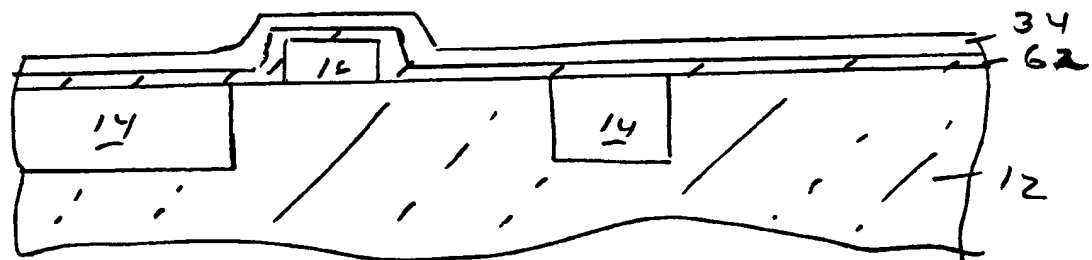


FIG. 3C

BUR920040112US1

7/7

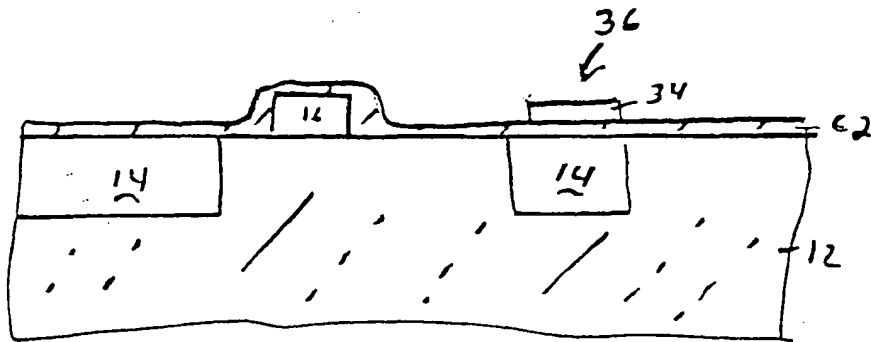


FIG. 3D

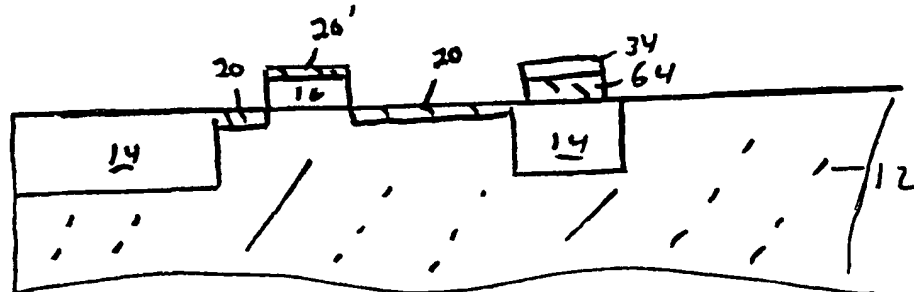


FIG. 3E

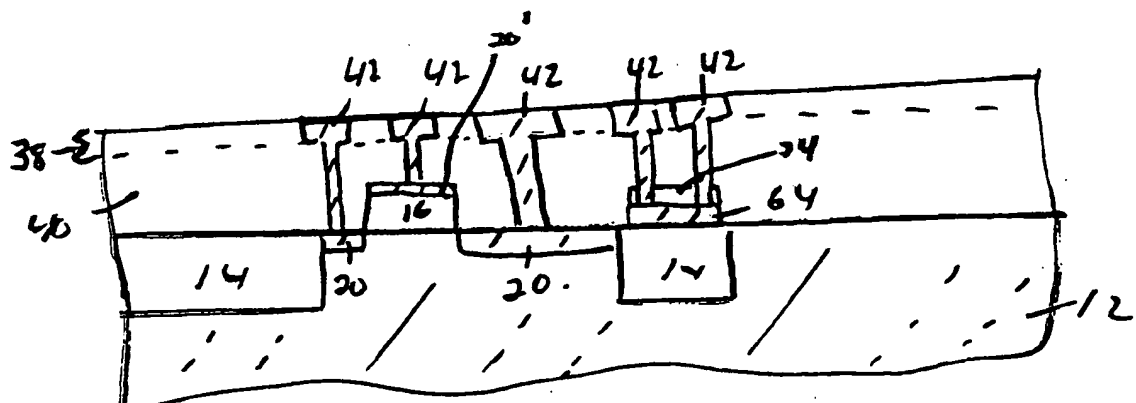


FIG. 3F